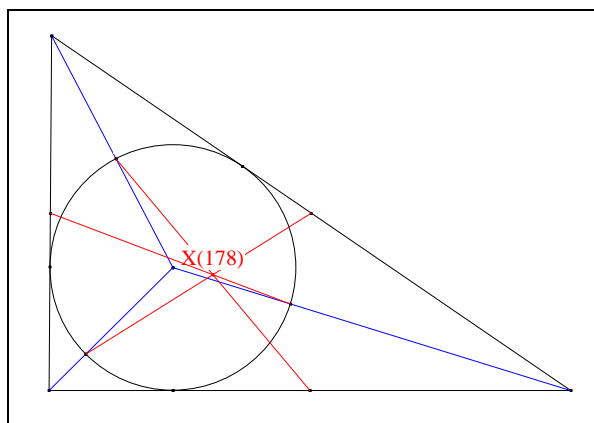


THE SECOND MID-ARC POINT (X_{178})

PREMIÈRES PREUVES SYNTHÉTIQUES

Jean-Louis AYME



Résumé.

Nous présentons deux preuves originales d'un résultat de Clark Kimberling datant de 1988, non résolu synthétiquement, et concernant "the second mid-arc point of a triangle". La seconde preuve s'appuie sur un prolongement de la première.

Un nouveau centre, non répertorié chez ETC est présenté.

Les figures sont toutes en position générale, toutes les notations se reproduisent figure après figure et tous les théorèmes cités peuvent tous être démontrés synthétiquement.

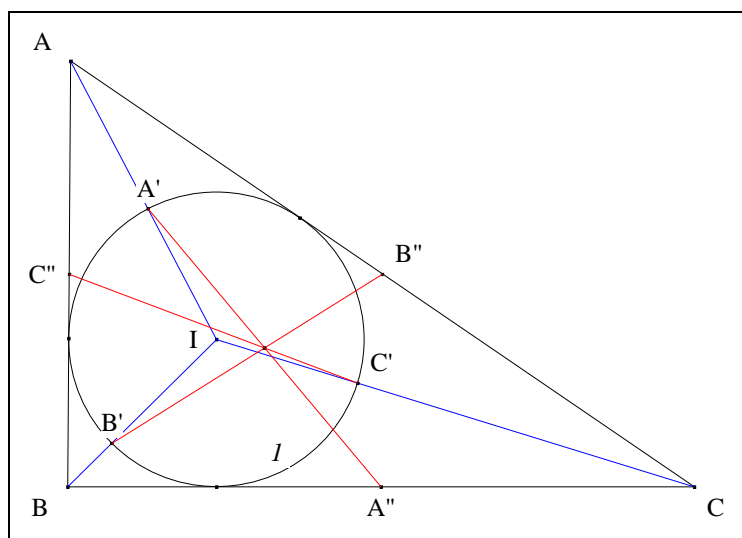
Sommaire

- I. Le résultat de Clark Kimberling
- II. Reformulation du résultat
- III. La première preuve
 - 1. Deux parallèles
 - 2. Trois points alignés
 - 3. Trois droites concourantes
 - 4. Trois autres droites concourantes
 - 5. Un nouveau centre
 - 6. Le résultat reformulé
- IV. Nature géométrique de X_{178}
 - 1. Commentaire
 - 2. Le triangle excentral de $A^*B^*C^*$
 - 3. Deux parallèles
 - 4. Le point X_{178}
- V. La seconde preuve
 - 1. Commentaire
 - 2. Le schéma de démonstration
- VI. Annexe
- VII. Archive

I. LE RÉSULTAT DE CLARK KIMBERLING

VISION

Figure :



Traits : ABC un triangle,
 I le cercle inscrit dans ABC,
 I le centre de I ,
 A', B', C' les points d'intersection resp. de $[IA], [IB], [IC]$ avec I
 et A'', B'', C'' les milieux resp. de $[BC], [CA], [AB]$.

Donné : $(A'A''), (B'B'')$ et $(C'C'')$ sont concourantes¹.

Note historique : ce résultat a été proposé comme problème à résoudre en 1988 par l'américain Clark Kimberling dans la revue néerlandaise *Nieuw Archief voor Wiskunde* avec la remarque suivante :

readers may find a "pure"geometric proof of the concurrence.

Rappelons que la solution de Kimberling est basée sur l'emploi des coordonnées trilineaires.

Ce résultat a été par la suite proposé un certain nombre de fois dans différents sites et revues. En 2008, il réapparaît dans le site *Mathlinks* sous la signature du vietnamien Danh Trung² connu sous le pseudonyme de "Mr. Danh". En réponse, l'allemand Darij Grinberg précisait :

*If you've got a synthetic proof of this, please post it
 - it appears for the fifth or so time on this forum without a solution...*

Une solution vectorielle a été alors donnée par Trung.

¹ Kimberling C., Problem 804, *Nieuw Archief voor Wiskunde* 6 (1988) 170.

² Trung D., incenter and midpoints, *Mathlinks* du 27/09/2008 ; <http://www.mathlinks.ro/Forum/viewtopic.php?t=228361>.

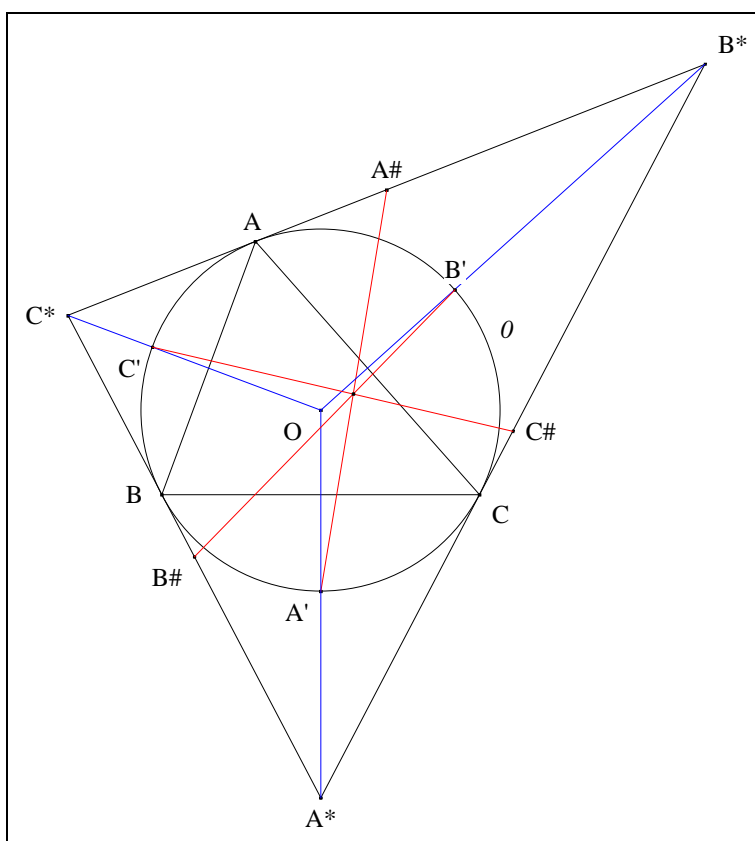
D'après mes sources, aucune solution de nature synthétique n'a été trouvée à ce jour.

Commentaire : pour rendre plus claire cette situation, l'auteur se permet de reformuler ce résultat avec ses propres notations en partant du triangle de contact.

II. REFORMULATION DU RÉSULTAT

VISION

Figure :

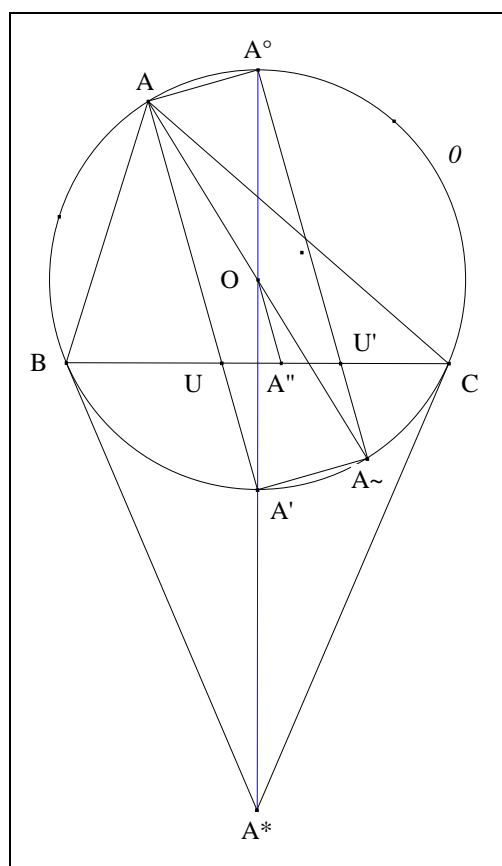


Traits : ABC un triangle,
 θ le cercle circonscrit à ABC ,
 O le centre de θ ,
 $A^*B^*C^*$ le triangle tangentiel de ABC ,
 A', B', C' les points d'intersection resp. de $[OA^*]$, $[OB^*]$, $[OC^*]$ avec θ
et $A\#, B\#, C\#$ les milieux resp. de $[B^*C^*]$, $[C^*A^*]$, $[A^*B^*]$.

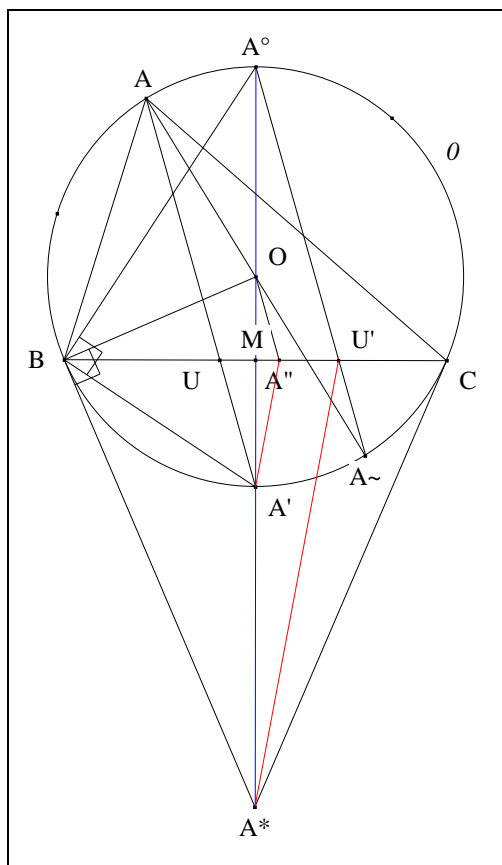
Donné : $(A\#A')$, $(B\#B')$ et $(C\#C')$ sont concourantes³.

³

Ayme J.-L., Concurrent lines, *Mathlinks* du 29/08/2008 ; <http://www.mathlinks.ro/Forum/viewtopic.php?t=223391>.



- Le quadrilatère $AA'A^\circ A^\sim$ ayant ses diagonales se coupant en leur milieu, est un parallélogramme ;
en conséquence, $(A^\circ A^\sim) \parallel (AA')$.
- D'après l'axiome de passage IIIb, (OA'') , $(A^\circ A^\sim)$ et (AA') sont parallèles entre elles.



- Notons M le milieu de $[A^*A^\circ]$.

- **Scolies :**
 - (1) $(OA^*) \perp (BC)$
 - (2) le quadrilatère OBA^*C est convexe
 - (3) le quadrilatère BA^*CA° est convexe.

- D'après Thalès "Triangle inscritible dans un demi cercle", le triangle BA^*O est B-rectangle ; en conséquence,

$$MO \cdot MA^* = BM^2.$$

- D'après Thalès "Triangle inscritible dans un demi cercle", le triangle $BA'A^\circ$ est B-rectangle ; en conséquence,

$$BM^2 = MA' \cdot MA^\circ.$$

- Par transitivité de la relation $=$,

$$MO \cdot MA^* = MA' \cdot MA^\circ ;$$

ou encore,

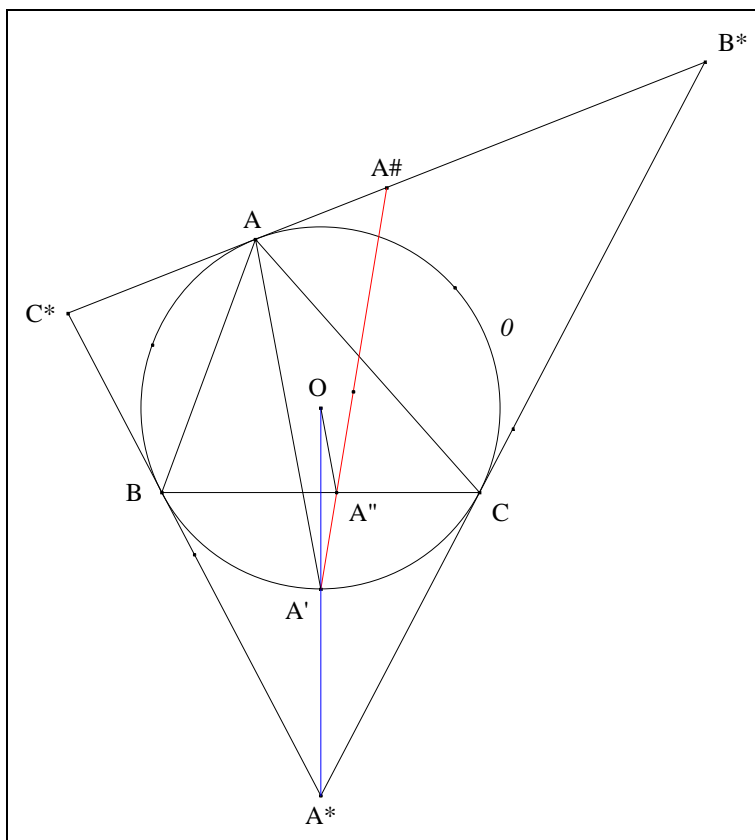
$$MA^* / MA' = MA^\circ / MO .$$

- D'après le théorème de Thalès, par transitivité de la relation $=$,

$$\begin{aligned} MA^\circ / MO &= MU' / MA'' ; \\ MA^* / MA' &= MU' / MA'' . \end{aligned}^5$$

- **Conclusion :** d'après Thalès, (A^*U') est parallèle à $(A'A'')$.

Scolie : deux autres parallèles



Traits : les hypothèses et notations précédentes sont les mêmes que précédemment.

Donné : A' , A'' et $A\#$ sont alignés⁶.

VISUALISATION

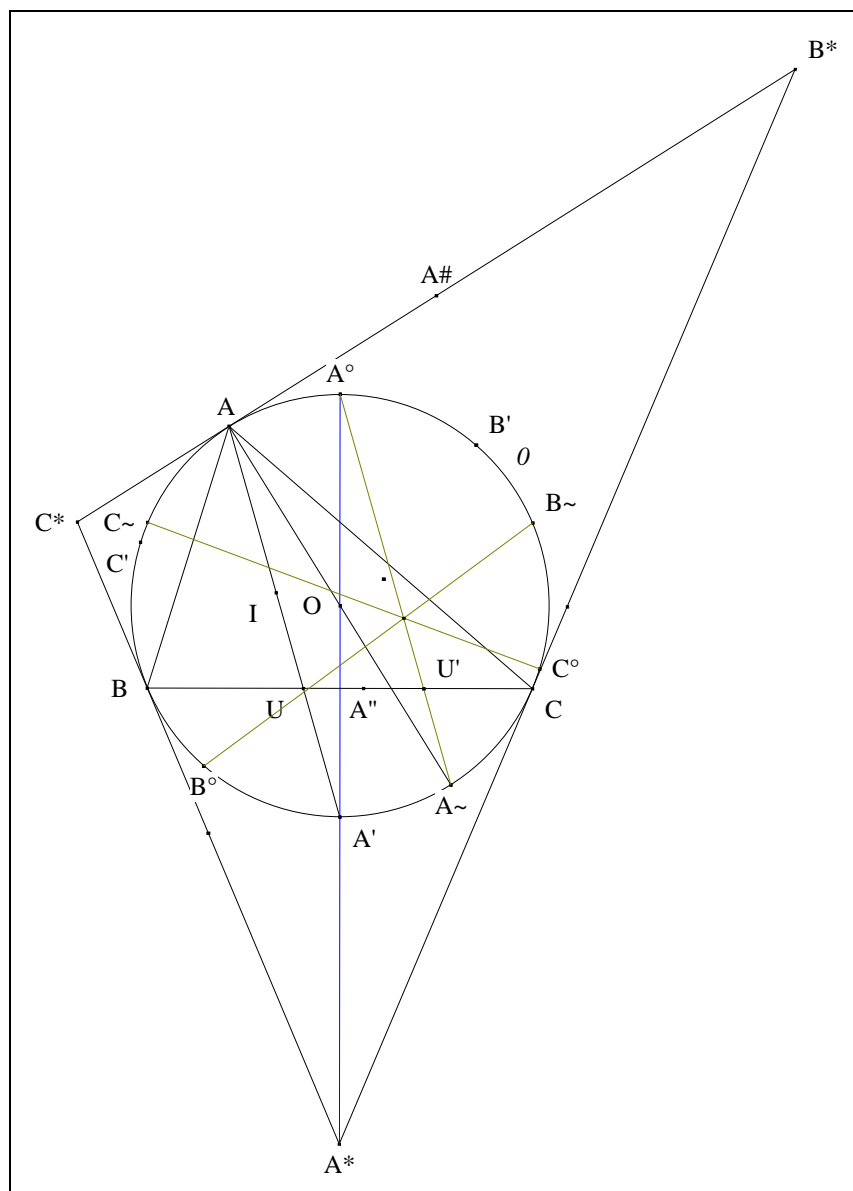
⁶

Ayme J.-L., Three collinear points,
 Mathlinks du 27/04/2008 ; <http://www.mathlinks.ro/Forum/viewtopic.php?t=202216>.
 Hyacinthos # 16324 du 27/04/2008 ; <http://tech.groups.yahoo.com/group/Hyacinthos/message/16324>.

3. Trois droites concourantes

VISION

Figure :



Traits :

B°, C°
 B^\sim, C^\sim
 et I

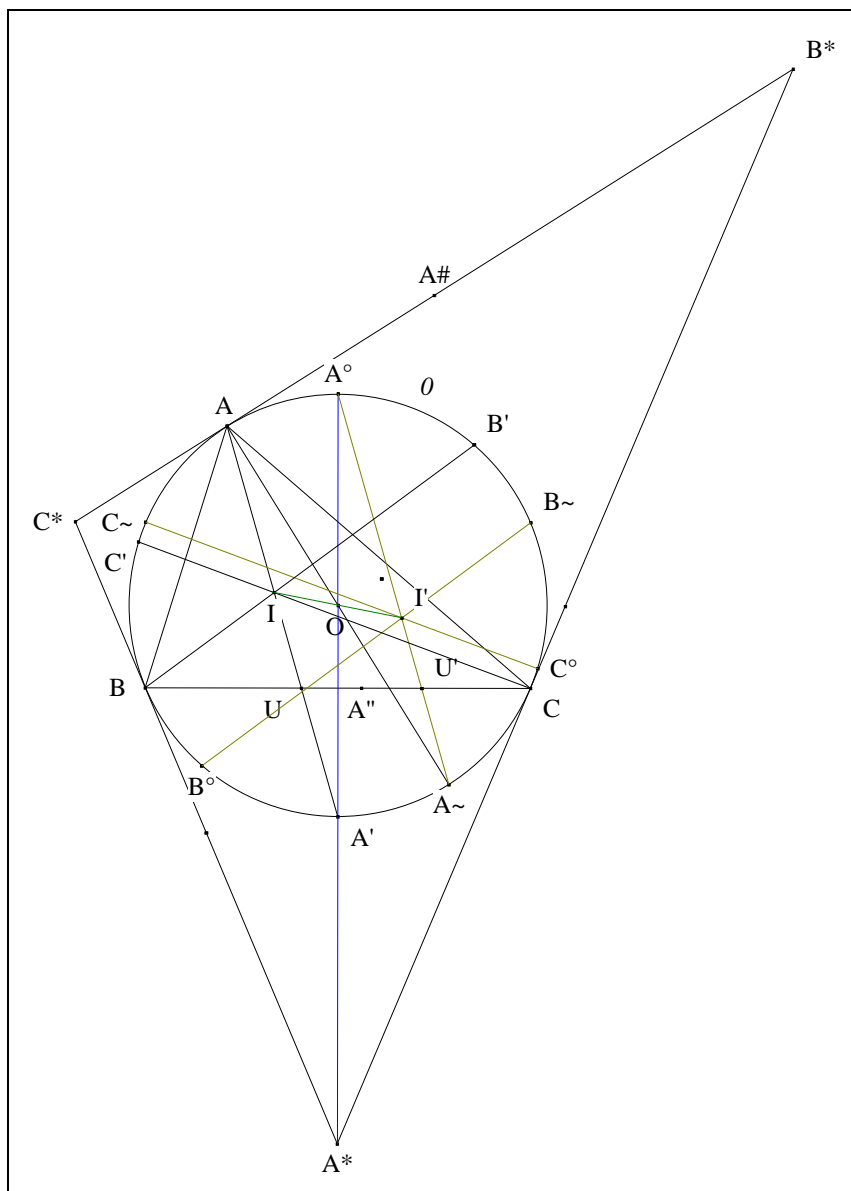
aux hypothèses et notations précédentes, nous ajoutons
 les antipôles resp. de B', C' par rapport à O ,
 les antipôles resp. de B, C par rapport à O
 le centre de ABC .

Donné : $(A \sim A^\circ), (B \sim B^\circ)$ et $(C \sim C^\circ)$ sont concourantes⁸.

VISUALISATION

⁸

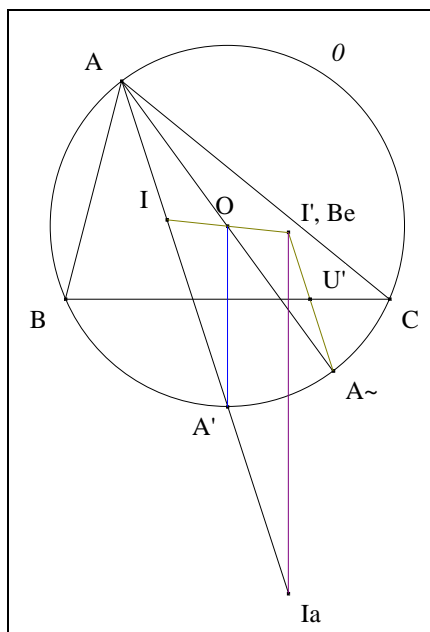
Ayme J.-L., Three concurrent lines, *Mathlinks* du 10/02/2009 ; <http://www.mathlinks.ro/Forum/viewtopic.php?t=256994>.



- (AA') , (BB') et (CC') étant resp. les A, B, C-bissectrices intérieures de ABC, concourent en I.
- Mutatis mutandis, nous montrerions que $(B^\circ B^\sim) \parallel (BB')$
 $(C^\circ C^\sim) \parallel (CC')$.
- **Conclusion :** par symétrie de centre O, $(A^\sim A^\circ)$, $(B^\sim B^\circ)$ et $(C^\sim C^\circ)$ sont concourantes.
- Notons I' ce point de concours.

Note historique : ce point de concours est connu sous le nom de "second point de Clawson".

Scolies : (1) nature géométrique de ce point

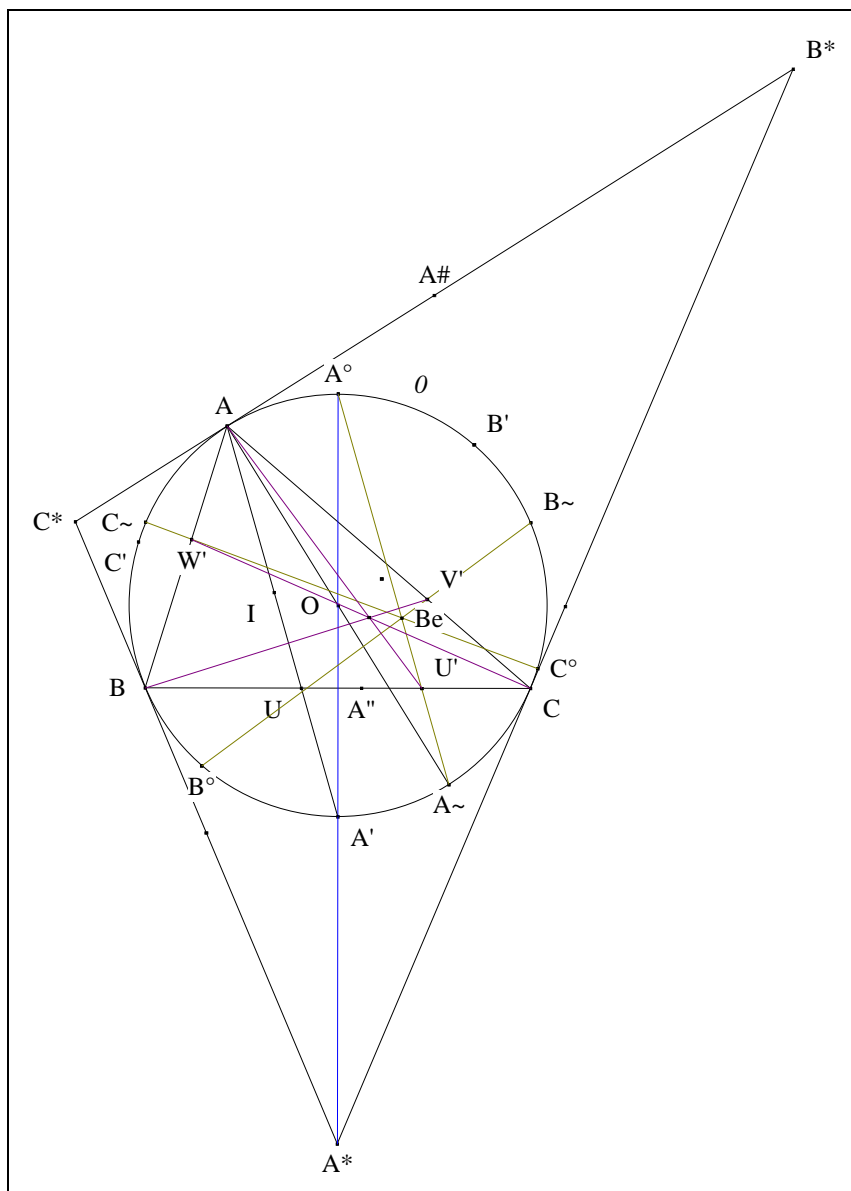


- Notons I_a le centre du A-exercle de ABC.
- Nous savons que A' est le milieu de $[II_a]$.
- Nous avons : $(BC) \perp (OA')$;
d'après Thalès "La droite des milieux" appliqué au triangle II_aI' , $(OA') \parallel (I'I_a)$.
- D'après l'axiome IVa des perpendiculaires, $(BC) \perp (I'I_a)$.
- Notons I_b, I_c les centres resp. des B, C-exercles de ABC.
- Mutatis mutandis, nous montrerions que $(CA) \perp (I'I_b)$
 $(AB) \perp (I'I_c)$.
- **Conclusion :** I' est le centre du cercle circonscrit du triangle excentral de ABC.
- (2) I' est le symétrique de I par rapport à O .
- (3) I' est le point de Bevan, noté Be et répertorié sous X_{40} chez ETC⁹.

4. Trois autres droites concourantes

VISION

Figure :



Traits : aux hypothèses et notations précédentes, nous ajoutons V', W' deux points définis comme U' .

Donné : $(AU'), (BV')$ et (CW') sont concourantes.

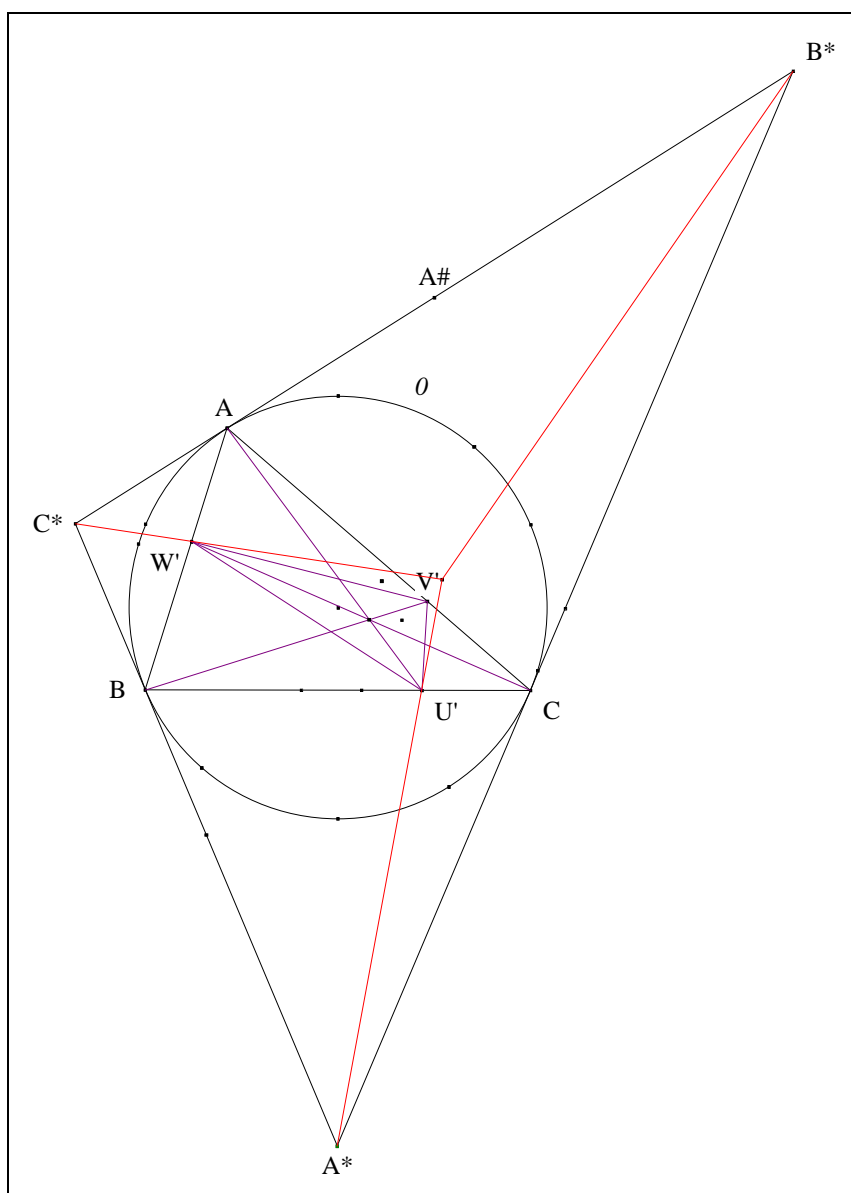
VISUALISATION

- Scolies :**
- (1) ce point de concours est répertorié sous X_{63} chez ETC.
 - (2) X_{63} est l'isogonal du point de Clawson (X_{19}) relativement à ABC .
 - (3) $U'V'W'$ est un triangle cévien de ABC .

5. Un nouveau centre

VISION

Figure :



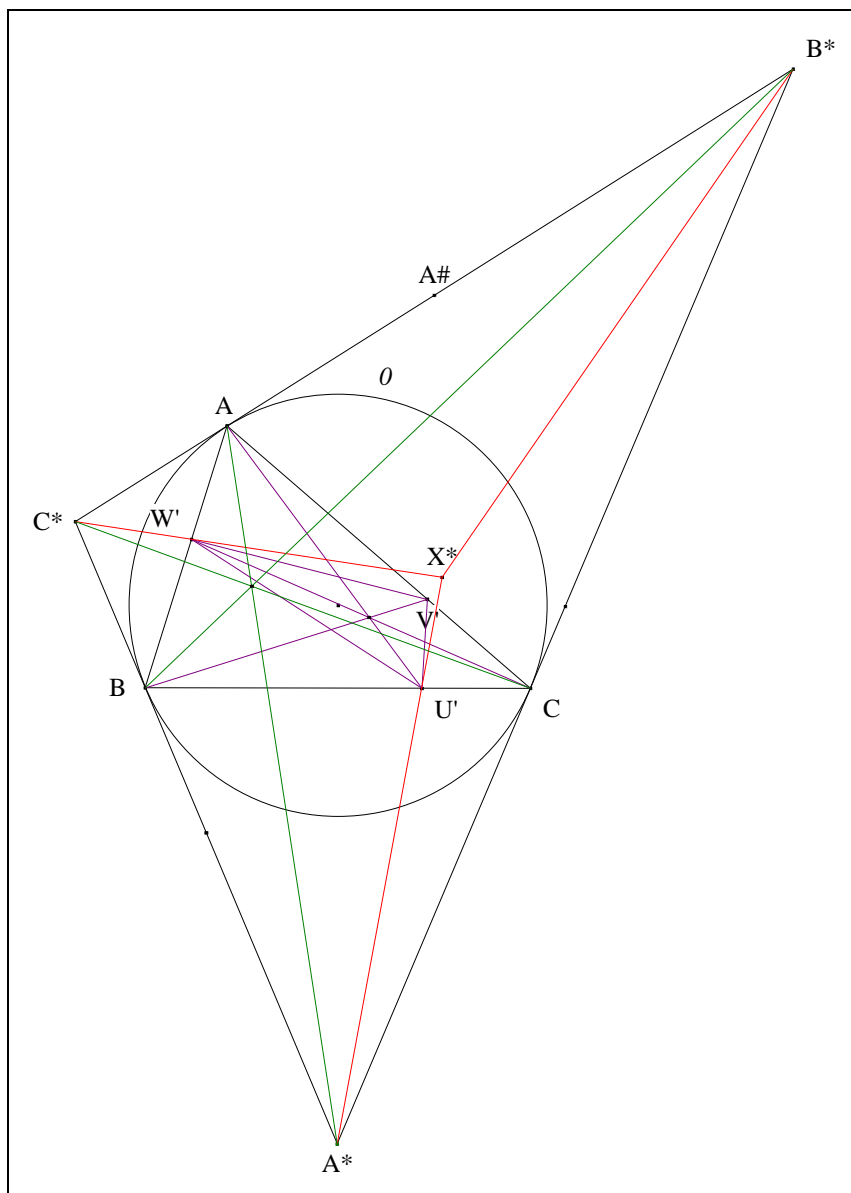
Traits : les hypothèses et notations précédentes sont les mêmes que précédemment.

Donné : (A^*U') , (B^*V') et (C^*W') sont concourantes¹⁰.

¹⁰

Ayme J.-L., Three new concurrent lines, *Mathlinks* du 10/02/2009 ; <http://www.mathlinks.ro/Forum/viewtopic.php?t=256995>.

VISUALISATION



- **Scolie :** O est le cercle inscrit de $A^*B^*C^*$.
- D'après "Le point de Gergonne" (Cf. Annexe 5), $A^*B^*C^*$ est en perspective avec ABC .
- Nous avons : $A^*B^*C^*$ est en perspective avec ABC
et ABC est en perspective avec $U'V'W'$
- D'après "The cevian nests theorem"¹¹, $A^*B^*C^*$ est en perspective avec $U'V'W'$.
- **Conclusion :** (A^*U') , (B^*V') , (C^*W') sont concourantes.
- Notons : X^* ce point de concours.

Ayme J.-L., Three concurrent lines, Message *Hyacinthos* # 17207 du 11/02/2009 ;
<http://tech.groups.yahoo.com/group/Hyacinthos/message/17207>.

¹¹ Ayme J.-L., The cevian nests theorem, G.G.G. vol. 3, p. 1-7 ;
<http://pagesperso-orange.fr/jl.ayme/Docs/The%20cevian%20nests%20theorem.pdf>.

Scolie : X^* est un nouveau centre

Note historique : l'existence de X^* a été confirmé le 11 Février 2009 par l'espagnol Francisco Javier Garcia Capitan qui tout en précisant ses coordonnées trilineaires, signalait que ce nouveau centre n'est pas répertorié chez ETC.
Le même jour, l'auteur précisait que

*This problem has a relation with a difficult one.
I think it is now solved.
I must now write a little article on it.*¹²

Ce même jour, Chris van Tienhoven¹³ livrait son sentiment

It's always thrilling when three lines (constructed in the same way) coincide

et donnait les lignes centrales passant par X^* suivantes :

{1, 159, 1486, 3220},
{3, 960, 997, 1158, 3185, 3435},
{6, 1245, 1973, 2354},
{20, 1610, 1633},
{25, 65, 1452},
{31, 56, 154, 221, 603, 1042, 1106, 1191, 1201, 1399, 1406, 1407, 1457, 1473, 2390},
{40, 197},
{55, 976, 1854, 2292, 3145},
{63, 1619},
{64, 71, 198, 220, 2155, 3197},
{73, 2187},
{100, 1265},
{161, 2099},
{222, 1660},
{859, 1780},
{958, 1503},
{1012, 2217},
{1398, 1456},
{1498, 3428},
{1593, 2182},
{2176, 2178, 2305}.

Le lendemain, Peter J. C. Moses¹⁴ secondait van Tienhoven et ajoutait que X^* est le point X_{188} du triangle antimédian de $A^*B^*C^*$ et aussi le point X_{65} du triangle excentral de $A^*B^*C^*$, ces deux résultats étant obtenus à l'aide du logiciel *Mathematica*.

Dans un message privé du 12/02/2009, "amontes1949" affirmait que X^* est le

*Perspector del triángulo tangencial
y
el triángulo ceviano del conjugado isogonal del punto de Clawson.*

Une généralisation du résultat de l'auteur a été présentée par l'espagnol Angel

¹² Ayme J.-L., Three concurrent lines, message *Hyacinthos* #17209 du 11/02/2009 ;
<http://tech.groups.yahoo.com/group/Hyacinthos/message/17209>.

¹³ Tienhoven (van) C., Three concurrent lines, message *Hyacinthos* #17214 du 11/02/2009.

¹⁴ Moses P. J. C., Three concurrent lines, message *Hyacinthos* #17215 du 12/02/2009.

Montesdeoca¹⁵ sur le site de Ricardo Barroso¹⁶ de Séville (Espagne)

Commentaires : en disant que X^* est le point X_{188} du triangle antimédian de $A^*B^*C^*$, le problème de Kimberling n'est toujours pas résolu car X_{188} est i.e. "the second mid-arc point" du triangle antimédian de $A^*B^*C^*$.
Par contre, en disant que X^* est le point X_{65} i.e l'orthocentre du triangle de contact du triangle excentral de $A^*B^*C^*$, nous avons une idée de la nature géométrique de X^* .

Une courte note concernant Francisco Javier Garcia Capitan

Francisco Javier est un professeur confirmé et plein d'enthousiasme qui enseigne les mathématiques au lycée Alvarez Cubero de Priego de Cordoba, une ville moyenne situé au sud de Cordoba (Espagne). Sa passion pour la Géométrie l'a poussé à utiliser les nouvelles technologies comme les logiciels de calcul *Mathematica*, de dessin *Cabri* pour investir, avec l'aide des coordonnées barycentriques¹⁷, le Triangle. Pour mieux faire partager son plaisir "géométrique", il a créé son propre site de Géométrie¹⁸ qui mérite d'être visité.

6. Le résultat reformulé

VISION

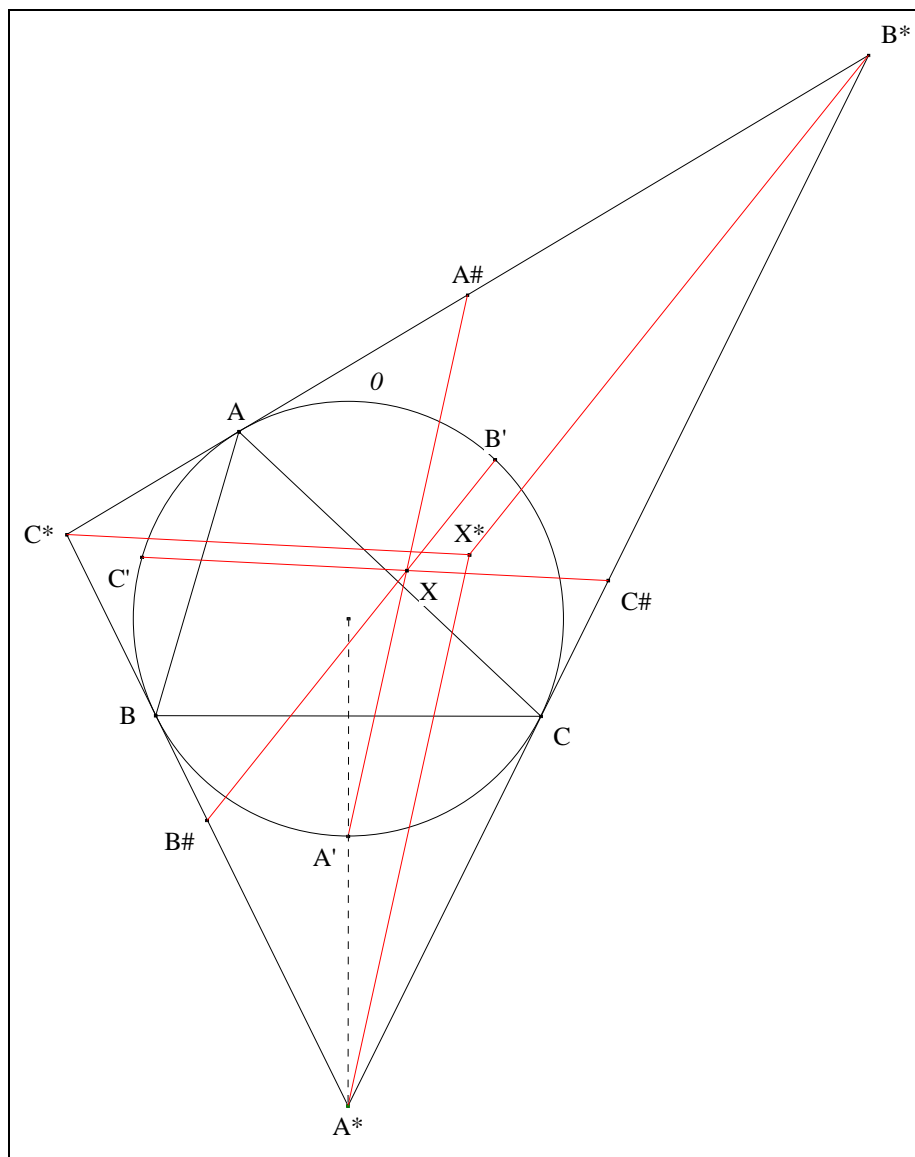
Figure :

¹⁵ Montesdeoca A., Una generalizacion sobre un mensaje del Grupo Hyacinthos y una cubica asociada.

¹⁶ <http://personal.us.es/rbarroso/trianguloscabri/>

¹⁷ <http://garciacapitan.auna.com/baricentricas>.

¹⁸ <http://garciacapitan.auna.com/>.



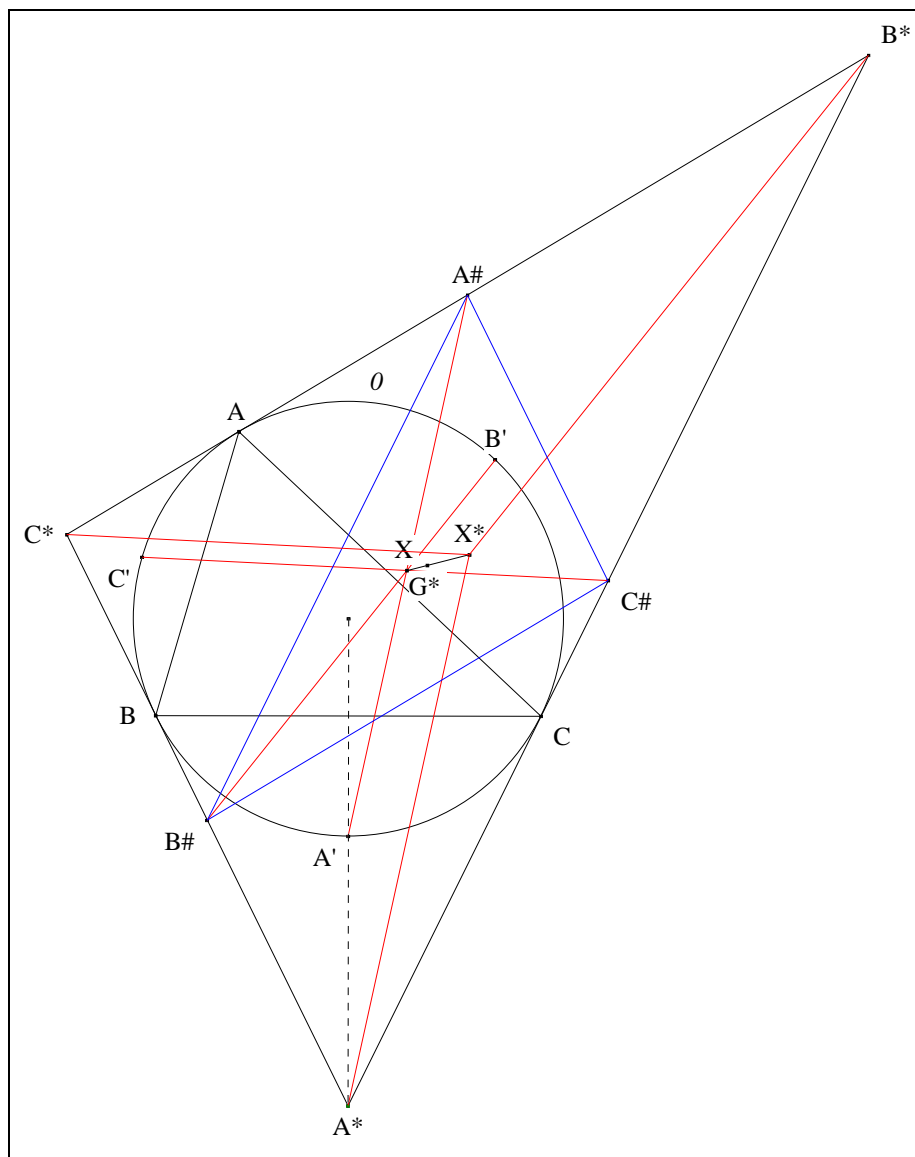
Traits : les hypothèses et notations précédentes sont les mêmes que précédemment.

Donné : $(A#A')$, $(B#B')$ et $(C#C')$ sont concourantes¹⁹.

VISUALISATION

¹⁹

Ayme J.-L., Concurrent lines, *Mathlinks* du 29/08/2008 ; <http://www.mathlinks.ro/Forum/viewtopic.php?t=223391>.



- Notons G^* le point médian de ABC .
- **Scolies :**
 - (1) $A\#B\#C\#$ est le triangle médian de $A^*B^*C^*$
 - (2) $A\#B\#C\#$ est homothétique à $A^*B^*C^*$ dans le rapport $1/2$
 - (3) $A\#B\#C\#$ est comédian²⁰ à $A^*B^*C^*$
 - (4) (A^*X) , (B^*X) , (C^*X) sont concourantes et resp. parallèles à $(A\#A')$, $(B\#B')$, $(C\#C')$.
- **Conclusion :** par homothétie, $(A\#A')$, $(B\#B')$, $(C\#C')$ sont concourantes.
- Notons X ce point de concours.
- Scolies :**
 - (1) X i.e. "the second mid-arc point of $A^*B^*C^*$ ", est répertorié sous X_{178} chez ETC²¹
 - (2) X est le complément de X^* relativement à $A^*B^*C^*$
 - (3) Avec l'aide d'un logiciel de calcul, Clark Kimberling précise qu'il est

²⁰ Partage le même point médian i.e. G^* .

²¹ Kimberling Clark, Triangle Centers and Central Triangles, *Congressus Numerantium*, 129 (1988) 96.

le point d'intersection de $\{2, 188\}$ et de $\{8, 236\}$,
sachant que

2	correspond au point médian de $A*B*C^*$
188	au "second mid-arc point" du triangle antimédian de $A*B*C^*$
8	au point de Nagel de $A*B*C^*$
236	au "X2-ceva conjugate de X188" relativement à $A*B*C^*$

le complément de 188 relativement à $A*B*C^*$

Le crosspoint de 2 et 508 relativement à $A*B*C^*$
sachant que

508 est le "6th isoscler point" de $A*B*C^*$.

Commentaire : nous nous apercevons que ces indications ne concourent pas à la résolution du problème de Clark Kimberling.

Attention : le concept de "mid-arc points" d'un triangle ABC a été défini pour la première fois par Roger Arthur Johnson²² en 1929 comme étant les points milieux des arcs du cercle circonscrit à ABC déterminés par les sommets A, B et C. Rappelons que ces points jouent un rôle dans le cercle et le triangle de Fuhrmann. Clark Kimberling²³ en 1988 et 1994, G. R. Veldkamp²⁴ en 1987 ont défini le "mid-arc point" comme étant un centre de perspective.

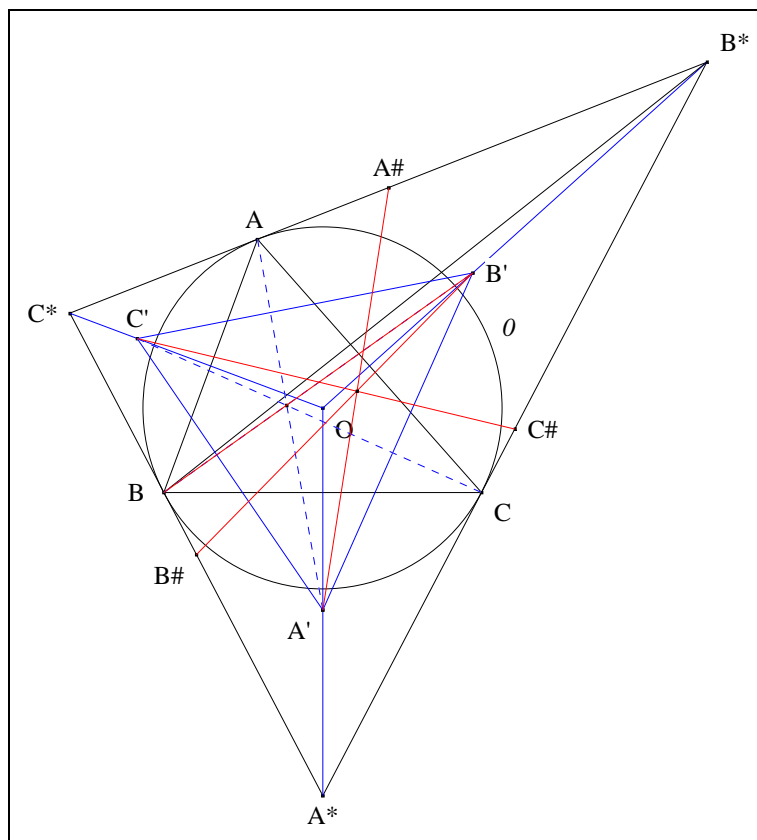
Note historique : le résultat de Clark Kimberling a été généralisé en 2006 par Éric Danneels²⁵ de la façon suivante :

²² Johnson R. A., *Modern Geometry : An Elementary Treatise on the Geometry of the Triangle and the Circle*, Boston MA : Houghton Mifflin (1929) 228-229.

²³ Kimberling C., Central Points and Central Lines in the Plane of a Triangle, *Mathematics Magazine* 67 (1994) 163-187.

²⁴ Kimberling C. and Veldkamp G. R., Problem 1160 and solution, *Crux mathematicorum* (1987) 298-299.

²⁵ Danneels E., Triangles with Vertices on the Angle Bisectors, *Forum Geometricorum* vol. 6 (2006) 247-253 ; <http://forumgeom.fau.edu/FG2006volume6/FG200629index.html>.



Traits : ABC un triangle,
 O le cercle circonscrit à ABC ,
 O le centre de O ,
 $A^*B^*C^*$ le triangle tangential de ABC ,
 A', B', C' trois points situés resp. sur (OA^*) , (OB^*) , (OC^*)
 et $A\#, B\#, C\#$ les milieux resp. de $[B^*C^*]$, $[C^*A^*]$, $[A^*B^*]$.

Donné : $(A\#A')$, $(B\#B')$ et $(C\#C')$ sont concourantes.

Énoncé : $A'B'C'$ étant un triangle dont les sommets sont sur les bissectrices intérieures d'un triangle $A^*B^*C^*$,
 $A'B'C'$ est en perspective avec le triangle de contact ABC de $A^*B^*C^*$
si, et seulement si,
 $A'B'C'$ est en perspective avec le triangle médian $A\#B\#C\#$ de $A^*B^*C^*$.

Commentaire : la preuve de Danneels est de nature barycentrique.

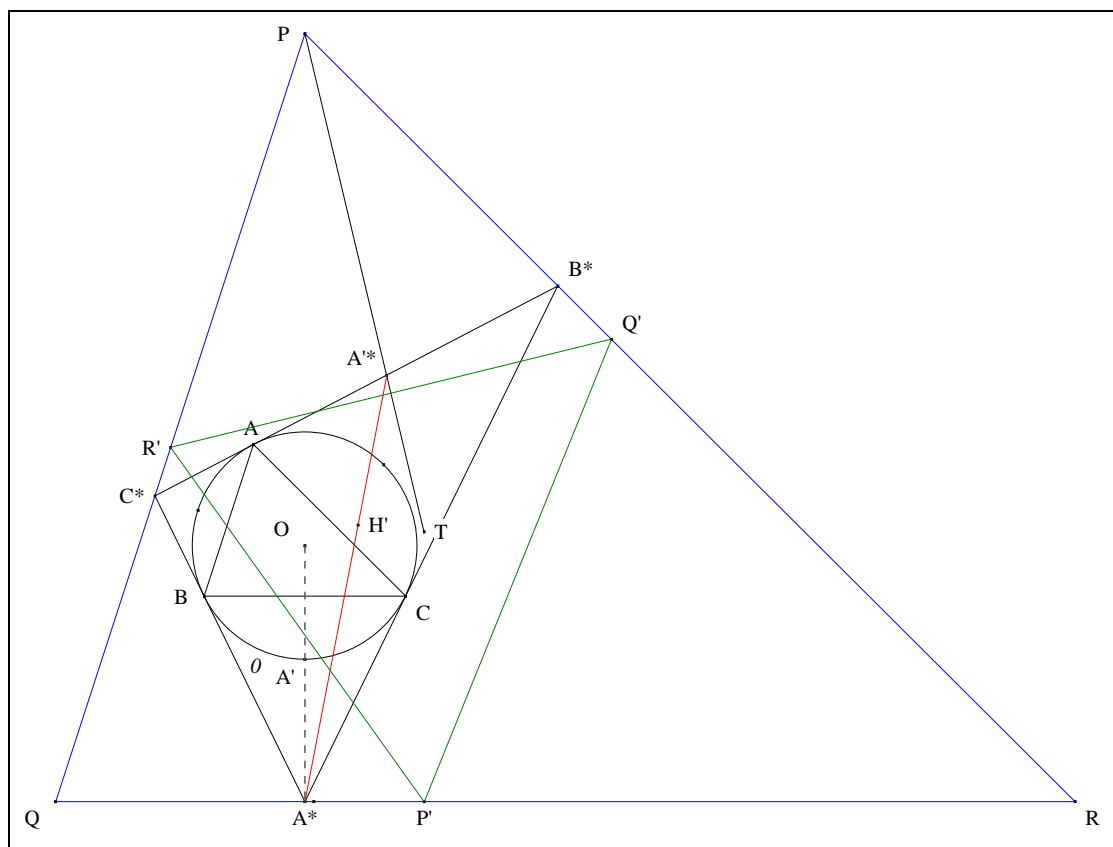
IV. NATURE GÉOMÉTRIQUE DE X_{178}

1. Commentaire : la précision géométrique concernant le point X^* obtenue à l'aide de *Mathematica* par Peter J. C. Moses, nous conduit à considérer le triangle excentral de $A^*B^*C^*$.

2. Le triangle excentral de $A^*B^*C^*$

VISION

Figure :



Traits : aux hypothèses et notations précédentes, nous ajoutons

PQR	le triangle excentral de $A^*B^*C^*$,
T	le centre de PQR,
$P'Q'R'$	le triangle de contact de $A^*B^*C^*$,
H'	l'orthocentre de $P'Q'R'$
et A^*	le point d'intersection de (PT) et (B^*C^*) .

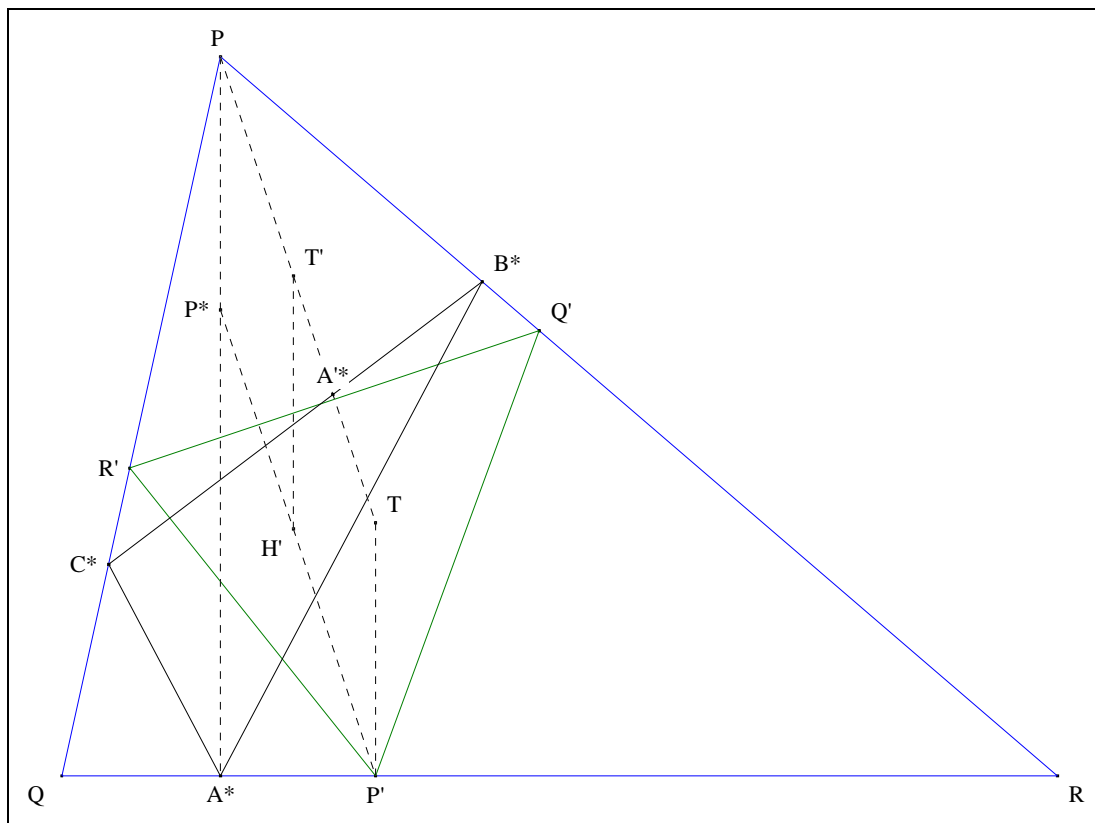
Donné : A^*, H' et A'^* sont alignés²⁶.

VISUALISATION

²⁶

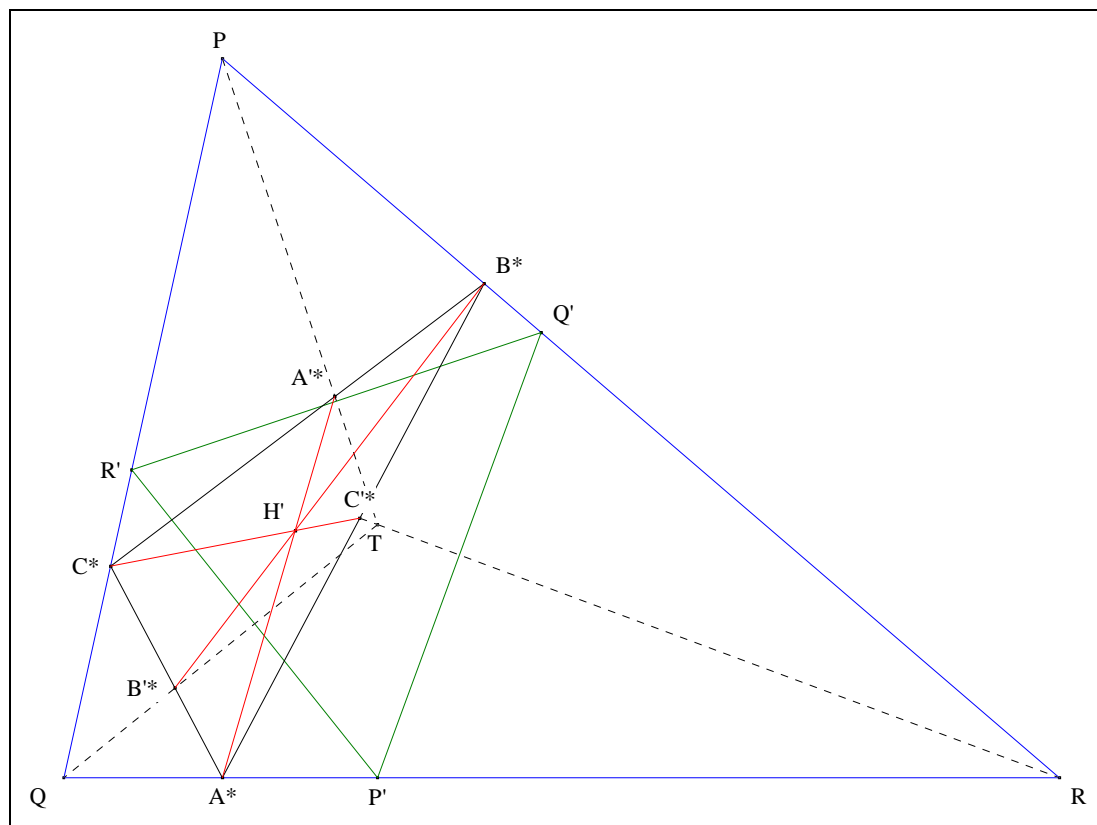
Ayme J.-L., Orthocenter of the contact triangle, *Mathlinks* du 16/02/2009 ;
<http://www.mathlinks.ro/Forum/viewtopic.php?t=258646>.

- **Scolies :**
 - (1) le quadrilatère $PP^*P'T$ est un parallélogramme
 - (2) T est le centre du cercle circonscrit à $P'Q'R'$.



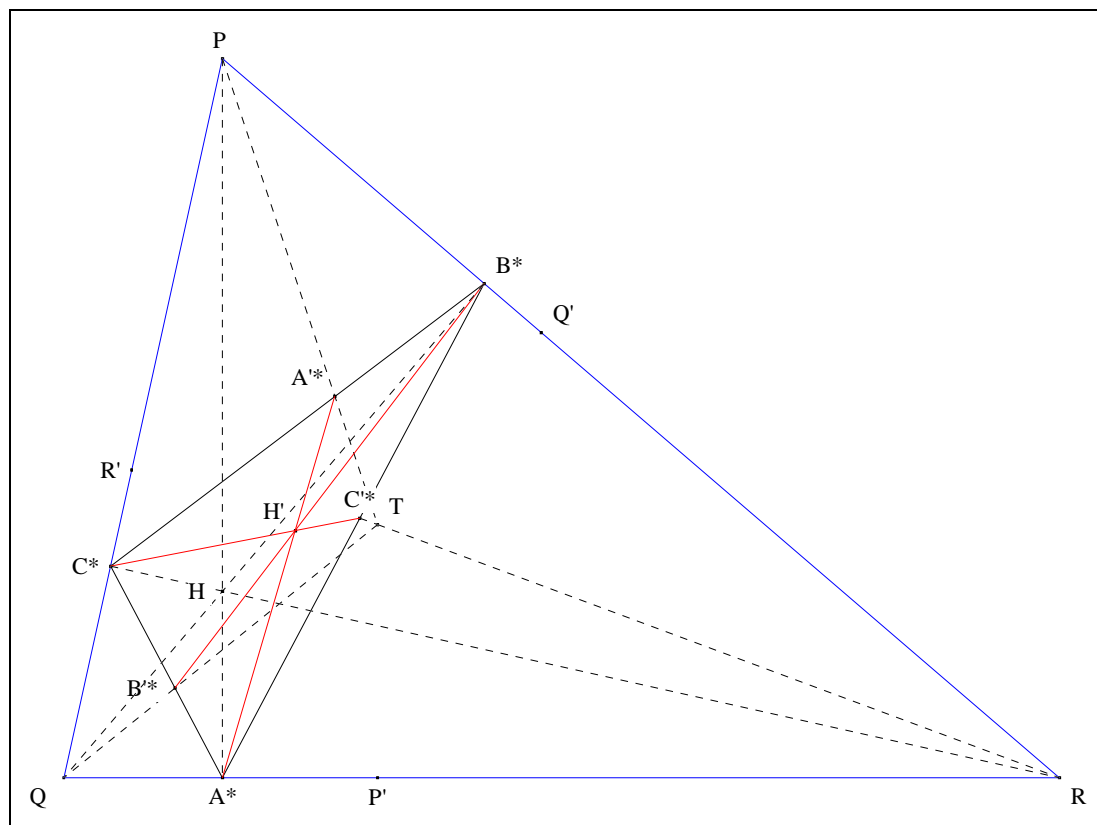
- Notons T' le symétrique de T par rapport à $(Q'R')$.
- D'après "Orthocentre d'un triangle I-annexe" (Cf. Annexe 6), T' est l'orthocentre du triangle $PR'Q'$.
- D'après Carnot "Une relation" (Cf. Annexe 7), $P'H' = TT'$.
- Le quadrilatère $P'TT'H'$ étant un parallélogramme, $(H'T') \parallel (P'T)$.
- **Scolies :** (P^*P) , $(H'T')$ et $(P'T)$ sont parallèles entre elles.

- **Conclusion partielle :**
$$\frac{\overline{H'P'}}{\overline{H'P^*}} = \frac{\overline{T'T}}{\overline{T'P}}.$$



- Notons B'^* le point d'intersection de (QT) et (C^*A^*)
 et C'^* le point d'intersection de (RT) et (A^*B^*) .
- Mutatis mutandis, nous montrerions que B^*, H' et B'^* sont alignés
 C^*, H' et C'^* sont alignés.
- **Conclusion :** $(A^*A''), (B^*B'')$ et (C^*C'') sont concourantes en H' .

(2) Un cross-cevian point



- Notons H l'orthocentre de PQR .
- **Conclusion :** par définition²⁷,
pour ETC, H' est le cross-cevian point de H et T relativement à PQR ;
 H est le H' -Ceva conjugate of T
 T est le H' -Ceva conjugate of H .

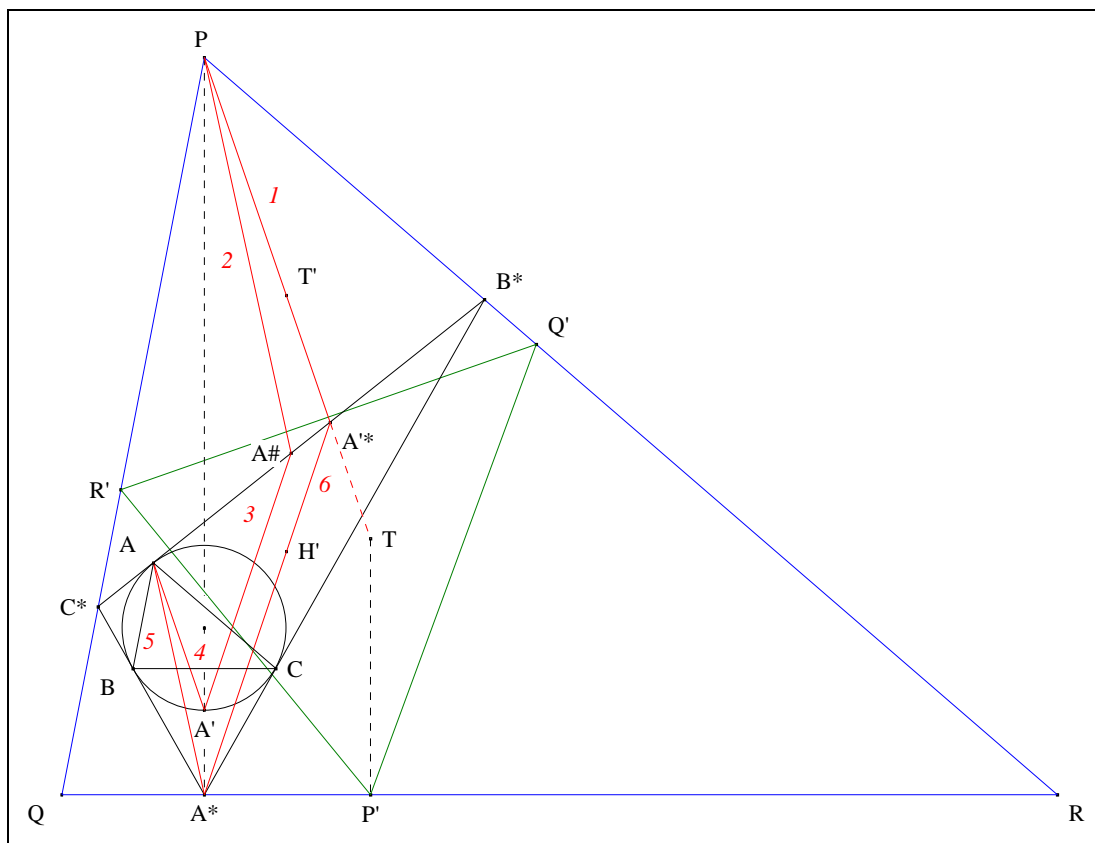
3. Deux parallèles

VISION

Figure :

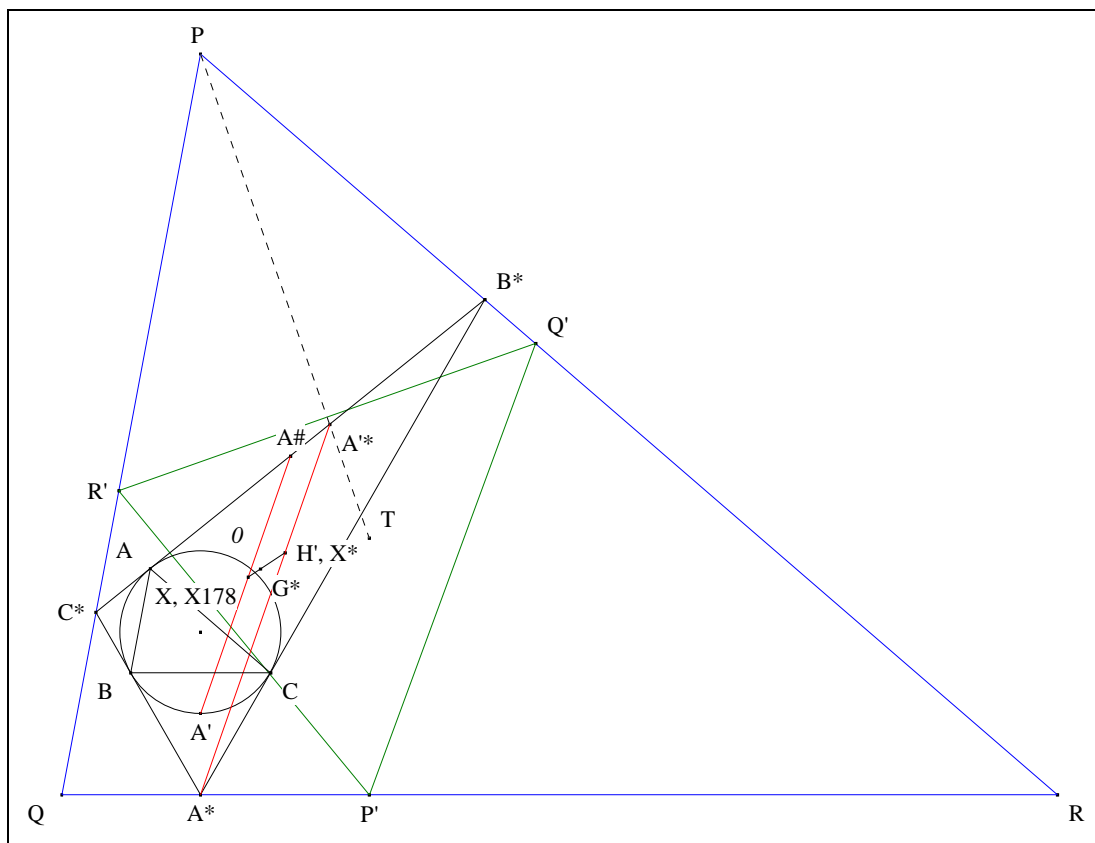
²⁷

Ayme J.-L., The cross-cevian point, G.G.G. vol. 3 p. 2-8 ;
<http://pagesperso-orange.fr/jl.ayme/Docs/The%20cross-cevian%20point.pdf>.



- Les triangles ABC et PR'Q' étant homothétiques, $(AA^*) \parallel (PA^*T)$.
- (B^*C^*) et (QR) étant antiparallèles par rapport à (PQ) et (PR) , $(PA\#)$ est la P-symédiane de PQR.
- Par construction, (AA^*) est la A-symédiane de ABC.
- Les triangles ABC et PR'Q' étant homothétiques, $(AA^*) \parallel (PA\#)$.
- **Conclusion :** d'après "Le petit théorème de Pappus" (Cf. Annexe 1) appliqué à l'hexagone sectoriel $A^*PA\#A'AA^*A'^*$, $(A^*H'A'^*) \parallel (A'A\#)$.
- Mutatis mutandis, nous montrerions que $(B^*H'B'^*) \parallel (B'B\#)$
 $(C^*H'C'^*) \parallel (C'C\#)$.

4. Le point X_{178}



- X^* et H' étant confondus,
 X^* est l'orthocentre du triangle de contact du triangle excentral du triangle tangential de ABC.
- **Scolie :** $(A'A\#)$, $(B'B\#)$ et $(C'C\#)$ sont concourantes en X .
- **Conclusion :** X i.e. X_{178} est le complément de X^* relativement à $A^*B^*C^*$

ou encore

X_{178} est le complément de l'orthocentre
du triangle de contact du triangle excentral du triangle tangential de ABC.

V. LA SECONDE PREUVE

1. **Commentaire :** les natures géométriques de X_{178} (X) et de X^* (H'), nous permet d'envisager une seconde preuve synthétique.

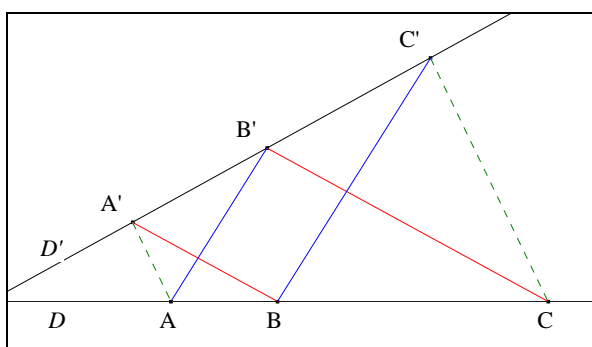
2. Le schéma de démonstration

- Les hypothèses et notations précédentes sont les mêmes que précédemment.
- $(A^*A'^*)$, $(B^*B'^*)$ et $(C^*C'^*)$ sont concourantes en H' . (p. 24-28)
- $(A^*A'^*)$, $(B^*B'^*)$, $(C^*C'^*)$ sont resp. parallèles à $(A'A\#)$, $(B'B\#)$, $(C'C\#)$. (p. 29-31)

- $A^*B^*C^*$ et $A\#B\#C\#$ sont homothétiques.
- **Conclusion :** $(A'A\#)$, $(B'B\#)$ et $(B'B\#)$ sont concourantes.
- Notons X ce point de concours
- **Scolie :** X est le complément de H' relativement à $A^*B^*C^*$.

VI. ANNEXE

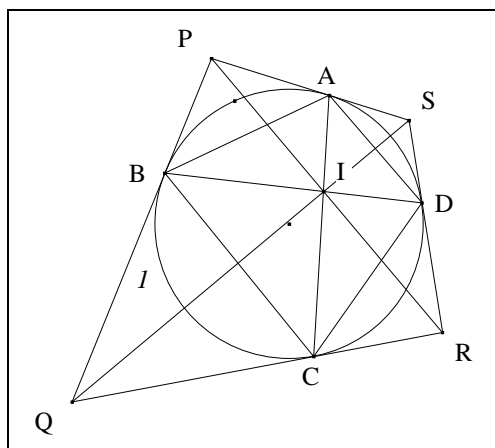
1. Le petit théorème de Pappus²⁸



Traits : D, D' deux droites,
 A, B, C trois points pris dans cet ordre sur D ,
 B' un point
 et A', C' deux points de D' tels que $(AB') \parallel (BC')$ et $(A'B) \parallel (B'C)$.

Donné : B' est sur D' si, et seulement si, (AA') et (CC') sont parallèles.

2. Le théorème de Newton²⁹



Traits : I un cercle,
 $ABCD$ un quadrilatère inscrit dans I

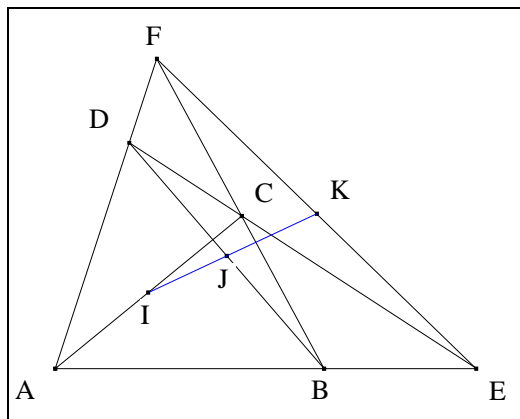
²⁸ Pappus, *Collections* Livre VII.

²⁹ Newton I., *Principes* 1686, corollaire II du lemme XXIV; il est aussi appelé théorème faible de Brianchon.

et PQRS le quadrilatère tangentiel de ABCD.

Donné : les diagonales [PR], [SQ], [AC] et [BD] sont concourantes.

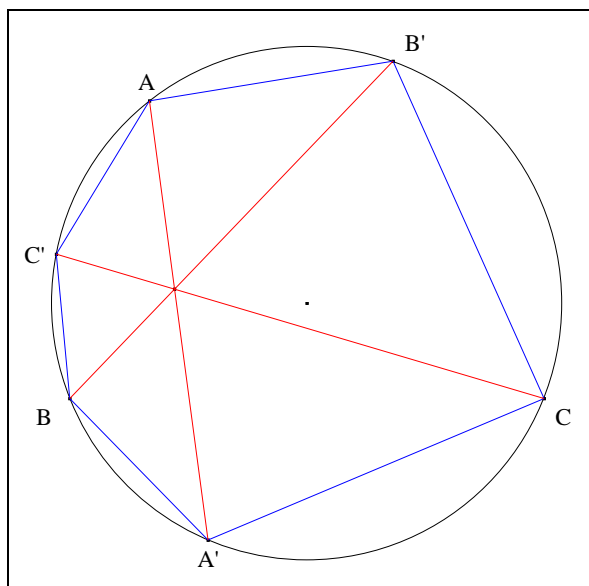
3. La ponctuelle de Gauss³⁰



Traits : ABCD un quadrilatère,
E un point de (AB),
F le point d'intersection de (AD) et (BC)
et I, J, K les milieux resp. de [AC], [BD], [EF].

Donné : C, D et E sont alignés *si, et seulement si*, I, J et K sont alignés.

4. Diagonales d'un hexagone convexe et cyclique³¹



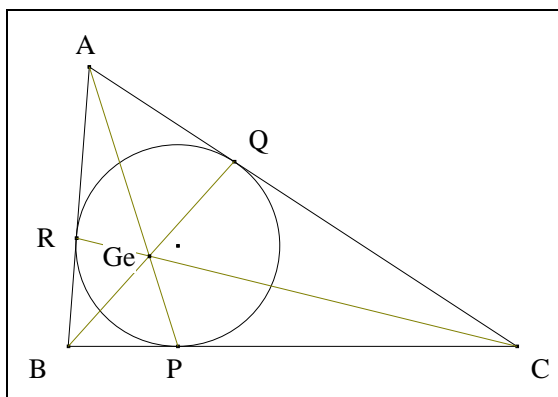
Traits : AC'BA'CB'A un hexagone convexe et cyclique.

Donné : (AA'), (BB'), (CC') sont concourantes *si, et seulement si*, $AC' \cdot BA' \cdot CB' = BC' \cdot CA' \cdot AB'$.

5. Le point de Gergonne³²

³⁰ Gauss K. F., *Monatscorrespond.* 22 (1810) 115.

³¹ Sharygin I. F., *Problemas de geometria*, Editions Mir, Moscou (1986), II. 49 p. 76.

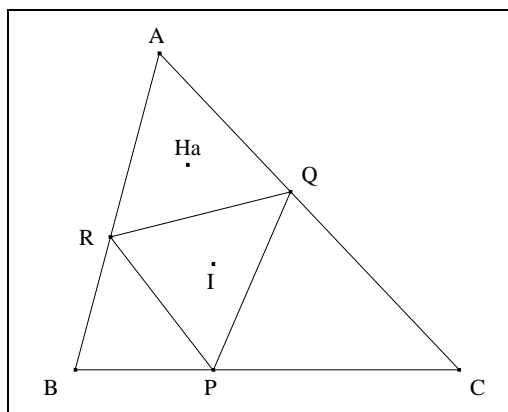


Traits : ABC un triangle,
 I le cercle inscrit dans ABC
 et P, Q, R les points de contact de I resp. avec (BC), (CA), (AB).

Donné : (AP), (BQ) et (CR) sont concourantes.

Scolie : ce point de concours est "le point de Gergonne" de ABC ;
 il est noté Ge et répertorié sous X₇ chez ETC.

6. Orthocentre d'un triangle I-annexe



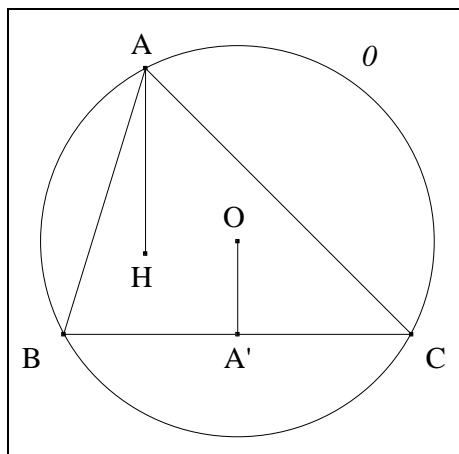
Traits : ABC un triangle,
 I le centre de ABC,
 et PQR le triangle de contact de ABC
 Ha le symétrique de I par rapport à (QR).

Donné : Ha est l'orthocentre du triangle I-annexe ARQ.

7. Une relation³³

³² Gergonne, *Annales de Gergonne* IX (1818-19).

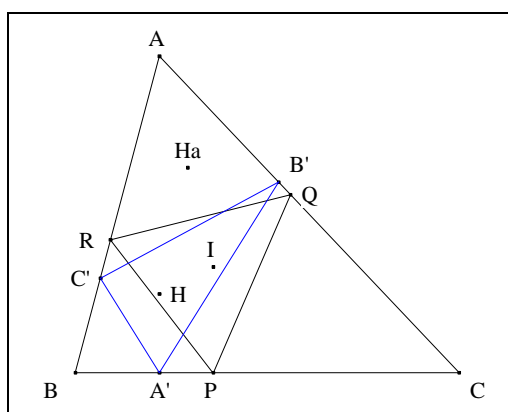
³³ Carnot L., *Géométrie de position* (1803).



Traits : ABC un triangle,
H l'orthocentre de ABC
 \mathcal{O} le cercle circonscrit à ABC,
O le centre de \mathcal{O}
et A' le milieu de [BC],

Donné : $AH = 2.OA'$.

8. Centre d'un triangle H-annexe



Traits : ABC un triangle,
I le centre de ABC,
PQR le triangle de contact de ABC,
Ha le symétrique de I par rapport à (QR),
H l'orthocentre de ABC
et A'B'C' le triangle orthique de ABC

Donné : Ha est le centre du triangle H-annexe AC'B'.

VII. ARCHIVE

Le papier de Clark Kimberling

Proposal: Let A' , B' , C' be the first points of intersection of the angle bisectors of a triangle ABC with its incircle. Let A'' , B'' , C'' be the midpoints of the sides of ABC . Prove that the lines $A'A''$, $B'B''$, $C'C''$ concur in a point.

Proof: Write $x = \cos(A/2)$, $y = \cos(B/2)$, $z = \cos(C/2)$, so that a trilinear-coordinate equation for the incircle, according to Carr (p. 641) is

$$x\sqrt{a} + y\sqrt{b} + z\sqrt{c} = 0.$$

Intersecting this with the bisector $\beta = \gamma$ gives

$$A' = (y + z)^2 : x^2 : x^2.$$

We shall show that the point of concurrence is

$P = (y + z)/a : (z + x)/b : (x + y)/c$. To show that P lies on $A'A''$, we need only establish that

$$\begin{vmatrix} \frac{y+z}{a} & \frac{z+x}{b} & \frac{x+y}{c} \\ 0 & c & b \\ \left(\frac{y+z}{x}\right)^2 & 1 & 1 \end{vmatrix} = 0,$$

This last equation follows from

$$c - b + (c \cos A + a \cos C) - (b \cos A + a \cos B) = 0 ,$$

so that $(c - b) (1 + \cos A) = a (\cos B - \cos C)$,

and $\frac{c - b}{a} = \frac{y^2 - z^2}{x^2} .$

Similarly, P is proved to lie on lines B'B'' and C'C''.

Remark: Readers may find a "pure" geometric proof of the concurrence. It is hoped that the trilinears for P will nevertheless be printed in the solution. One reason for this request is that the only practical way to see that P is not one of the "named triangle centers" is to compare its trilinears with those of the familiar centers.